

УДК 539.374

## ВИСКОЗИМЕТРИЧЕСКОЕ ТЕЧЕНИЕ УПРУГОВЯЗКОПЛАСТИЧЕСКОГО МАТЕРИАЛА ПРИ ЕГО НАГРЕВЕ ВСЛЕДСТВИЕ ПРИСТЕННОГО ТРЕНИЯ

А. С. Бегун<sup>\*,\*\*</sup>, Л. В. Ковтанюк<sup>\*</sup>

<sup>\*</sup> Институт автоматики и процессов управления ДВО РАН, 690041 Владивосток, Россия

<sup>\*\*</sup> Владивостокский государственный университет экономики и сервиса,

690014 Владивосток, Россия

E-mails: asustinova@mail.ru, lk@iacp.dvo.ru

С использованием математической модели больших деформаций решается связанная краевая задача о деформировании упруговязкопластического материала в цилиндрическом вискозиметре с учетом его нагрева за счет пристенного трения. Исследуется деформирование материала, заключенного между жесткими поверхностями, вследствие вращения внутренней цилиндрической поверхности с переменной скоростью. Учитывается, что предел текучести зависит от температуры. Выявлены закономерности движения упругопластических границ, рассчитаны напряжения, деформации, температура в области термоупругого деформирования и в области течения как при развитии течения, так и при его замедлении, включая остановку, разгрузку и охлаждение, вычислены остаточные напряжения и деформации.

Ключевые слова: упругость, вязкость, пластичность, вискозиметрическое течение, большие деформации, термопластичность.

DOI: 10.15372/PMTF20210509

Результаты вискозиметрических экспериментов могут использоваться для измерения вязкости конструкционных материалов. Обработка этих результатов обычно проводится с помощью точного решения соответствующей модельной краевой задачи. В механике вязких и вязкопластических сред такие решения, полученные в рамках жесткопластической модели Шведова — Бингама, являются классическими [1–4], также разработаны достаточно универсальные методы расчетов вязкопластических течений [5–7]. При использовании конструкционных материалов или эластичных жидкостей, когда упругими свойствами материалов пренебречь невозможно, задачи о вискозиметрических течениях существенно усложняются. В таких случаях деформации в застойных зонах и движущихся ядрах преимущественно обратимы, и постановку краевых задач необходимо осуществлять в перемещениях, в то время как в областях течения задача решается в скоростях перемещений. Области обратимого деформирования и течения разделяются неизвестной движущейся границей, на которой должно выполняться условие непрерывности перемещений. Вычисление компонент перемещений в областях течения является достаточно сложной задачей [8], поэтому решений упругопластических задач в теории течения получено немного [9, 10]. Заметим, что в случае упруговязкопластических сред условия равенства

скоростей и компонент напряжений на упругопластической границе также недостаточно, что может приводить к ошибочным решениям [11].

Поскольку в областях течения необратимые деформации велики, задачи о вискозиметрическом течении необходимо рассматривать с использованием модели больших упругопластических деформаций. Подобных подходов к моделированию упругопластических свойств существует достаточно много [12–17]. В настоящей работе будем использовать модель, в которой в соответствии с законами неравновесной термодинамики обратимые и необратимые деформации, рассматриваемые в качестве термодинамических параметров состояния, определяются из дифференциальных уравнений переноса [18–21].

С помощью данного подхода получены решения некоторых теоретических задач (включая точные аналитические) [21–25].

Обобщим решение, полученное в работе [25], в которой рассматривалось вязкопластическое течение с учетом проскальзывания на стенках вискозиметра. В предположении, что наличие трения при проскальзывании приводит к нагреву деформируемого материала, рассмотрим связанную задачу производства тепла и необратимых деформаций за счет вискозиметрического деформирования и пристенного трения. Решение задачи проведем с использованием математической модели больших упругопластических деформаций, построенной в [18–20], подробно описанной в [21] и обобщенной на неизотермический случай [26] и на случай учета вязких свойств материала при его пластическом течении [27]. В рамках такой математической модели ранее получены решения связанных термомеханических задач для случаев прямолинейных движений упруговязкопластических материалов [28–31].

**1. Основные соотношения модели.** Обратимая (термоупругая)  $m$  и необратимая  $p$  составляющие полных деформаций определяются дифференциальными уравнениями их изменения (переноса). В переменных Эйлера такие соотношения имеют вид

$$\begin{aligned} \frac{Dp}{Dt} &= \frac{dp}{dt} - x \cdot p + p \cdot x = \gamma - p \cdot \gamma - \gamma \cdot p, \\ \frac{Dm}{Dt} &= \varepsilon - \gamma - \frac{1}{2} ((\varepsilon - \gamma + z) \cdot m + m \cdot (\varepsilon - \gamma - z)), \end{aligned} \quad (1.1)$$

где

$$\begin{aligned} x &= -x^T = w + z, \quad \varepsilon = \frac{1}{2} (\nabla \mathbf{v} + \nabla^T \mathbf{v}), \quad w = \frac{1}{2} (\nabla \mathbf{v} - \nabla^T \mathbf{v}), \quad \mathbf{v} = \frac{\partial \mathbf{u}}{\partial t} + \mathbf{v} \nabla \mathbf{u}, \\ m &= e + \alpha T_0 \theta I, \quad \theta = T_0^{-1} (T - T_0), \\ z &= -z^T = A^{-1} (B^2 (\varepsilon \cdot m - m \cdot \varepsilon) + B (\varepsilon \cdot m^2 - m^2 \cdot \varepsilon) + m \cdot \varepsilon \cdot m^2 - m^2 \cdot \varepsilon \cdot m), \quad (1.2) \\ A &= 8 - 8J_1 + 3J_1^2 - J_2 - J_1^3/3 + J_3/3, \quad B = 2 - J_1, \\ J_1 &= I \cdot m, \quad J_2 = I \cdot m^2, \quad J_3 = I \cdot m^3, \end{aligned}$$

$\mathbf{u}$ ,  $\mathbf{v}$  — векторы перемещений и скорости;  $I$  — единичный тензор второго ранга;  $T$ ,  $T_0$  — текущая температура и температура в свободном состоянии (комнатная температура) соответственно;  $\alpha$  — коэффициент линейного расширения;  $D/Dt$  — объективная производная по времени. В качестве термодинамических параметров состояния тела при его деформировании принимаем температуру  $T$  (или плотность распределения энтропии  $S$ ), обратимые (термоупругие)  $m$  и необратимые  $p$  деформации. Согласно первому уравнению (1.1) процессы деформирования, в которых необратимые деформации  $p$  неизменны, определяются равенством нулю источника необратимых деформаций  $\gamma$ . В этом случае  $Dp/Dt = 0$  и компоненты тензора необратимых деформаций  $p$  изменяются так же, как

при жестком перемещении тела. Введенная в соотношении (1.1) объективная производная совпадает с производной Яумана в случае равенства нулю нелинейной добавки:  $z(\varepsilon, m) = 0$ .

Для тензора полных деформаций Альманси  $d$  из (1.1), (1.2) получаем [21]

$$d = m + p - m \cdot m/2 - m \cdot p - p \cdot m + m \cdot p \cdot m. \quad (1.3)$$

В качестве термодинамического потенциала будем использовать свободную энергию  $\Phi(m, T) = E(d, S) - TS$  ( $E(d, S)$  — плотность распределения внутренней энергии). Принимая существенно упрощающую математическую модель гипотезу, согласно которой свободная энергия не зависит от необратимых деформаций, будем полагать, что консервативная часть процесса деформирования задается упругим потенциалом  $W(m, \theta) = \rho_0 \Phi(m, T)$  ( $\rho_0$  — плотность материала в свободном состоянии). Полагая материал механически несжимаемым, из закона сохранения энергии получаем формулу Мурнагана и уравнение баланса энтропии

$$\sigma = -pI + \frac{1}{1 + 3\alpha T_0 \theta} \frac{\partial W}{\partial m} \cdot (I - m); \quad (1.4)$$

$$\frac{\partial(\rho S)}{\partial t} = -\operatorname{div} \mathbf{J} - T^{-2} \mathbf{q} \cdot \nabla T + T^{-1} \sigma \cdot \gamma, \quad (1.5)$$

где  $p$  — неизвестное гидростатическое давление;  $\mathbf{q}, \mathbf{J}$  — векторы потока тепла и энтропии:

$$\mathbf{J} = \rho S \mathbf{v} - T^{-1} \mathbf{q}, \quad S = -T_0 \rho^{-1} \frac{\partial W}{\partial \theta}.$$

Для рассматриваемого случая изотропной среды упругий потенциал  $W(J_1, J_2, \theta)$  раскладывается в ряд Тейлора относительно свободного состояния деформируемого материала при комнатной температуре  $T_0$ :

$$W(J_1, J_2, \theta) = -2\mu J_1 - \mu J_2 + \varkappa J_1^2 + (\varkappa - \mu) J_1 J_2 - \chi J_1^3 + \nu_1 J_1 \theta + \\ + \nu_2 \theta^2 - \nu_3 J_1 \theta^2 - \nu_4 J_1^2 \theta - \nu_5 J_2 \theta - \nu_6 \theta^3 + \dots, \quad (1.6)$$

$$J_1 = I \cdot c, \quad J_2 = I \cdot c^2, \quad c = m - 0,5m^2.$$

Здесь  $\mu$  — модуль сдвига;  $\varkappa, \chi$  — модули упругости более высокого порядка;  $\nu_k$  ( $k = 1, 2, \dots, 6$ ) — термомеханические постоянные.

Подставляя (1.6) в (1.5), уравнение теплопроводности запишем в виде

$$(1 + \beta_1 \theta + \beta_2 J_1) \frac{\partial \theta}{\partial t} + \beta_3 (\varepsilon - \gamma) \cdot c = \lambda \Delta \theta - \frac{1}{2\nu_2} \sigma \cdot \gamma, \quad (1.7)$$

$$\beta_1 = \frac{(1 - 3\alpha T_0)\nu_2 - 3\nu_6}{\nu_2}, \quad \beta_2 = -\frac{\nu_3}{\nu_2}, \quad \beta_3 = -\frac{\nu_1 + \nu_5}{\nu_2}$$

( $\lambda$  — температуропроводность). При деформировании, предшествующем вязкопластическому течению, и при разгрузке в (1.7) полагаем  $\gamma = 0$ . Таким образом, производством необратимых деформаций на данных стадиях процесса деформирования в форме деформаций ползучести пренебрегается. В области течения  $\gamma = \varepsilon^p$ , т. е. источник член в уравнении переноса (1.1) совпадает с тензором скоростей пластических деформаций.

Поверхность нагружения задается условием пластичности Треска с учетом вязкого сопротивления пластическому течению [32]:

$$f(\sigma_i, \varepsilon_k^p, k) = \max |\sigma_i - \sigma_j| - 2k - 2\eta \max |\varepsilon_k^p|, \quad (1.8)$$

где  $\sigma_i, \varepsilon_k^p$  — главные значения тензоров напряжений и скоростей пластических деформаций;  $k$  — предел текучести;  $\eta$  — вязкость.

Зависимость предела текучести от температуры примем в виде [28–31]

$$k = k_0(1 - \theta^2/\theta_m^2), \quad \theta_m = (T_m - T_0)T_0^{-1}, \quad (1.9)$$

где  $T_m$  — температура плавления деформируемого материала;  $k_0$  — предел текучести материала при комнатной температуре. Скорости необратимых (пластических) деформаций связаны с напряжениями ассоциированным законом пластического течения

$$\varepsilon^p = \gamma = \varphi \frac{\partial f(\sigma, \gamma, k)}{\partial \sigma}, \quad \varphi > 0. \quad (1.10)$$

Дополняя соотношения (1.7)–(1.10) уравнениями равновесия  $\nabla \sigma = 0$ , получаем замкнутую систему уравнений квазистационарного упруговязкопластического деформирования.

**2. Постановка задачи. Начальное обратимое деформирование.** Пусть упруговязкопластический материал заполняет кольцевой зазор между жесткими цилиндрическими поверхностями  $r = r_0$  и  $r = R$  ( $R > r_0$ ). Внутренний цилиндр вращается вокруг своей оси с заданной переменной угловой скоростью  $\omega_{r_0}(t)$ , тогда как внешний остается неподвижным.

Траекториями точек среды являются концентрические окружности, следовательно, в цилиндрической системе координат  $(r, \varphi, z)$  согласно (1.1)–(1.3) и условию несжимаемости кинематика среды определяется соотношениями

$$\begin{aligned} u_r &= r(1 - \cos \psi(r, t)), & u_\varphi &= r \sin \psi(r, t), & u_z &= 0, \\ d_{rr} &= -\frac{1}{2} r^2 \left( \frac{\partial \psi}{\partial r} \right)^2 = -2g^2, & d_{r\varphi} &= \frac{1}{2} r \psi_{,r} = g, & \psi_{,r} &= \frac{\partial \psi}{\partial r}, \\ v_\varphi &= r\omega = r\psi_{,rt}, & \varepsilon_{r\varphi} &= \frac{\partial d_{r\varphi}}{\partial t} = \frac{1}{2} (v_{\varphi,r} - r^{-1}v_r) = \frac{1}{2} r\psi_{rt}, \\ w_{r\varphi} &= -\psi_{,t} - \frac{r}{2} \psi_{,rt}, & x_{r\varphi} &= -\psi_{,t} + \frac{2m_{r\varphi}(1 - m_{\varphi\varphi})}{m_{rr} + m_{\varphi\varphi} - 2}, \end{aligned} \quad (2.1)$$

где  $\psi = \psi(r, t)$  — величина центрального угла закручивания точек среды;  $\omega(r, t)$  — их угловая скорость.

Рассмотрим деформирование материала при увеличивающейся, постоянной и уменьшающейся скоростях поворота внутреннего цилиндра. Следовательно, в качестве граничных условий задачи примем соотношения

$$\begin{aligned} \psi(R, t) &= 0, & \omega(R, t) &= 0, \\ w_{r_0}(t) &= \begin{cases} at, & 0 \leq t \leq t_1, \\ at_1, & t_1 \leq t \leq t_2, \\ at_1 - b(t - t_2), & t_2 \leq t \leq t_5, \end{cases} \\ \psi_{r_0} &= \begin{cases} at^2/2, & 0 \leq t \leq t_1, \\ at_1 t - at_1^2/2, & t_1 \leq t \leq t_2, \\ at_1 t - at_1^2/2 - b(t^2 - t_2^2)^2/2, & t_2 \leq t \leq t_5. \end{cases} \end{aligned} \quad (2.2)$$

Будем полагать, что до момента начала процесса деформирования  $t = 0$  деформации в цилиндрическом слое отсутствуют, температура равна комнатной  $T_0$ , первоначальное обжатие является равномерным:  $\sigma_{rr}(r, 0) = \sigma_{\varphi\varphi}(r, 0) = \sigma_{zz}(r, 0) = \sigma_0 = \text{const}$ . Также будем полагать, что первоначально материал деформируется обратимо, а его контакт с жесткими стенками осуществляется в соответствии с законом сухого трения:

$$|\sigma_{r\varphi}| \leq \delta |\sigma_{rr}|, \quad \mathbf{u} = \mathbf{0}, \quad \omega = \mathbf{0} \quad \text{при} \quad r = r_0, \quad r = R \quad (2.3)$$

( $\delta$  — коэффициент трения покоя).

Согласно (1.4), (1.6) компоненты напряжений при упругом деформировании определяются соотношениями

$$\sigma_{rr} = \sigma_{zz} = -(p + 2\mu) - 2(\varkappa + \mu)g^2 = -\Sigma, \quad \sigma_{\varphi\varphi} = -\Sigma + 4\mu g^2, \quad \sigma_{r\varphi} = 2\mu g. \quad (2.4)$$

В (2.4) обратимые деформации полагаются настолько малыми, что их третьим порядком можно пренебречь. Для полученных результатов такое допущение непринципиально, однако позволяет существенно упростить расчеты.

Интегрируя уравнения равновесия (квазистатический случай)

$$\sigma_{rr,r} + r^{-1}(\sigma_{rr} - \sigma_{\varphi\varphi}) = 0, \quad \sigma_{r\varphi,r} + 2r^{-1}\sigma_{r\varphi} = 0, \quad (2.5)$$

с учетом (2.1), (2.4) получаем решение, справедливое в интервале времени, когда происходит только упругое деформирование материала:

$$\begin{aligned} \sigma_{r\varphi} &= \frac{f(t)}{r^2}, & \sigma_{rr} = \sigma_{zz} &= \frac{f^2}{4\mu} \left( \frac{1}{r_0^4} - \frac{1}{r^4} \right) + \sigma_0, \\ \sigma_{\varphi\varphi} &= \frac{f^2}{4\mu} \left( \frac{1}{r_0^4} - \frac{3}{r^4} \right) + \sigma_0, & \psi &= \frac{f}{2\mu} \left( \frac{1}{R^2} - \frac{1}{r^2} \right), \\ \omega &= \frac{\dot{f}}{2\mu} \left( \frac{1}{R^2} - \frac{1}{r^2} \right), & \dot{f} &= \frac{df}{dt}, & f(t) &= \frac{a\mu t^2}{R^{-2} - r_0^{-2}}. \end{aligned} \quad (2.6)$$

Найденное решение справедливо до некоторого момента времени  $t = t_0 < t_1$ . В момент времени  $t = t_0$  в зависимости от значений параметров материала в окрестности внутренней поверхности либо начинается проскальзывание материала, либо возникает вязкопластическое течение. При  $\delta\sigma_0 < k_0$  проскальзывание начинается до момента возникновения вязкопластического течения, поэтому начиная с момента времени

$$t = t_0 = \sqrt{\frac{\delta\sigma_0 r_0^2}{a\mu} \left( \frac{1}{r_0^2} - \frac{1}{R^2} \right)}$$

граничное условие (2.3) при  $r = r_0$  необходимо заменить условием

$$|\sigma_{r\varphi}| = \delta |\sigma_{rr}| + \xi |\omega - \omega_{r_0}| \quad (2.7)$$

( $\xi$  — постоянная вязкого трения). При выполнении (2.7) начинается нагрев материала за счет пристенного трения на поверхности  $r = r_0$ :

$$\theta(r, t_0) = 0, \quad \theta_{,r}(R, t) = 0, \quad \theta(r_0, t) = \alpha_1(\psi(r_0, t) - \psi_{r_0}). \quad (2.8)$$

В соответствии с условиями (2.8) поверхность  $r = R$  является теплоизолированной;  $\alpha_1 = \text{const}$  — постоянная производства тепла за счет трения; нагревом материала вследствие термомеханической связанности обратимого деформирования и температуры пренебрегается (коэффициент связанности полагается равным нулю). В данном случае из (2.4), (2.6), (1.3) следуют соотношения

$$\begin{aligned} \sigma_{zz} &= -(p + 2\mu) - 2(\varkappa + \mu)g^2 + \xi_1\theta - \xi_2\theta^2 \equiv -\Sigma_1, \\ \sigma_{rr} &= -\Sigma_1 + 4l\theta g^2, & \sigma_{\varphi\varphi} &= -\Sigma_1 + 4\mu g^2, & \sigma_{r\varphi} &= 2(\mu - l\theta)g, \\ m_{r\varphi} &= g, & m_{rr} &= -3g^2/2, & m_{\varphi\varphi} &= g^2/2, \\ \xi_1 &= \nu_1 + 6\mu\alpha T_0, & \xi_2 &= \nu_3 + 18\mu\alpha^2 + 3\alpha\nu_1 T_0, & l &= \nu_1 + \nu_5 + 3\alpha\mu T_0. \end{aligned}$$

Из уравнения теплопроводности (1.7), второго уравнения равновесия (2.5) и условия (2.7) получаем систему уравнений для определения относительной температуры  $\theta(r, t)$ , угла поворота  $\psi(r, t)$  и функции  $f(t)$

$$(1 + \beta_1 \theta) \dot{\theta} + \frac{\beta_3 f}{2r^4(\mu - l\theta)^3} (lf\dot{\theta} + (\mu - l\theta)\dot{f}) = \lambda(\theta_{,rr} + r^{-1}\theta_{,r}),$$

$$\psi_{,r} = \frac{f}{r^3(\mu - l\theta)}, \quad \psi_{,t}(r_0, t) = \frac{\delta\sigma_0}{\xi} + \frac{f}{\xi r_0^2} + \omega_{r_0}. \quad (2.9)$$

Уравнения (2.9) решаются численно, с использованием условий (2.8) и условия  $\psi(R, t) = 0$ . Расчеты продолжаются до выполнения условия пластического течения (1.8). Данное условие выполняется на поверхности  $r = r_0$  в форме  $\sigma_{r\varphi}(r_0, t_*) = -k(\theta(r_0, t_*))$  в момент времени  $t = t_*$ , для которого справедливо уравнение

$$f(t_*) = -k_0 r_0^2 (1 - \theta^2(r_0, t_*) / \theta_m^2).$$

**3. Вязкопластическое течение.** Начиная с момента времени  $t = t_*$  от внутренней граничной поверхности к внешней движется упругопластическая граница  $r = r_1(t)$ , разделяющая область деформирования на две части: область обратимого (термоупругого) деформирования  $r_1(t) \leq r \leq R$  (область I) и область вязкопластического течения  $r_0 \leq r \leq r_1(t)$  (область II).

В области термоупругого деформирования для относительной температуры  $\theta^I(r, t)$ , угла поворота  $\psi^I(r, t)$  и функции  $f(t)$  справедливы соотношения (2.9).

Кинематические зависимости для рассматриваемого случая имеют вид

$$\varepsilon_{r\varphi} = \frac{\partial e_{r\varphi}}{\partial t} + \gamma_{r\varphi} = \frac{\partial e_{r\varphi}}{\partial t} + \varepsilon_{r\varphi}^p = \frac{\partial e_{r\varphi}}{\partial t} + \frac{\partial p_{r\varphi}}{\partial t},$$

$$\varepsilon_{rr}^p = \frac{\partial p_{rr}}{\partial t} + 2p_{r\varphi}(x_{r\varphi} + \varepsilon_{r\varphi}^p) - 2p_{r\varphi} \frac{\partial \psi}{\partial t},$$

$$\varepsilon_{\varphi\varphi}^p = \frac{\partial p_{\varphi\varphi}}{\partial t} + 2p_{r\varphi}(x_{r\varphi} + \varepsilon_{r\varphi}^p) + 2p_{r\varphi} \frac{\partial \psi}{\partial t},$$

$$\varepsilon_{rr}^p = -\varepsilon_{\varphi\varphi}^p = \frac{\varepsilon_{r\varphi}^p(e_{rr} - e_{\varphi\varphi})}{2e_{r\varphi}}.$$

В области вязкопластического течения напряжения, зависящие от обратимых деформаций и температуры, определяются из (1.4), (1.6):

$$\sigma_{zz} = -(p + 2\mu) - 2(\mu - (\nu_4 + 3\kappa\alpha T_0)\theta)m_{r\varphi}^2 +$$

$$+ 2(\kappa - (\nu_4 + 3\kappa\alpha T_0)\theta)(m_{rr} + m_{\varphi\varphi}) + \xi_1\theta - \xi_2\theta^2 = -\Sigma_2,$$

$$\sigma_{rr} = -\Sigma_2 + 2(\mu - l\theta)m_{rr} + (3\mu + l\theta)m_{r\varphi}^2, \quad (3.1)$$

$$\sigma_{\varphi\varphi} = -\Sigma_2 + 2(\mu - l\theta)m_{\varphi\varphi} + (3\mu + l\theta)m_{r\varphi}^2, \quad \sigma_{r\varphi} = 2(\mu - l\theta)m_{r\varphi}.$$

Из ассоциированного закона пластического течения (2.9) следуют равенства

$$\sigma_{r\varphi} = -k + \eta\varepsilon_{r\varphi}^p, \quad \varphi = \varepsilon_{r\varphi}^p(-k + \eta\varepsilon_{r\varphi}^p)^{-1}, \quad \varepsilon_{r\varphi}^p = \frac{1}{\eta} \left( \frac{f}{r^2} + k_0 \left( 1 - \frac{\theta^2}{\theta_m^2} \right) \right). \quad (3.2)$$

Из условий непрерывности напряжений на движущейся упругопластической границе  $r = r_1(t)$  получаем уравнение для определения этой границы:

$$r_1(t) = \sqrt{-f(t) / [k_0(1 - \theta^2(r_1, t) / \theta_m^2)]}. \quad (3.3)$$

Уравнение теплопроводности (1.7) для области вязкопластического течения принимает вид

$$(1 + \beta_1 \theta^{\text{II}}) \dot{\theta}^{\text{II}} + \frac{\beta_3 f}{2r^4(\mu - l\theta^{\text{II}})^3} (lf\dot{\theta}^{\text{II}} + (\mu - l\theta^{\text{II}})\dot{f}) = \lambda(\theta_{,rr}^{\text{II}} + r^{-1}\theta_{,r}^{\text{II}}) + \frac{1}{2\nu_2\eta} \frac{f}{r^2} \left( \frac{f}{r^2} + k_0 \left( 1 - \frac{(\theta^{\text{II}})^2}{\theta_m^2} \right) \right). \quad (3.4)$$

В соответствии с (2.1), (3.2) для угловой скорости точек среды в этой области получаем уравнение

$$\omega = \psi_{,rt}^{\text{II}} = \frac{1}{r^3(\mu - l\theta^{\text{I}})} (\dot{f} + fl\dot{\theta}_{,t}^{\text{II}}) + \frac{1}{\eta r} \left( \frac{f}{r^2} + k_0 \left( 1 - \frac{(\theta^{\text{II}})^2}{\theta_m^2} \right) \right). \quad (3.5)$$

Добавляя к уравнениям (2.9), (3.3)–(3.5) краевые условия

$$\begin{aligned} \theta_{,r}^{\text{I}}(R, t) = 0, \quad \theta^{\text{II}}(r_0, t) = \alpha_1(\psi^{\text{II}}(r_0, t) - \psi_{r_0}), \\ \psi^{\text{I}}(R, t) = 0, \quad \omega(R, t) = 0, \quad \theta^{\text{I}}(r_1, t) = \theta^{\text{II}}(r_1, t), \end{aligned} \quad (3.6)$$

получаем систему уравнений для определения относительной температуры  $\theta^{\text{I}}(r, t)$ ,  $\theta^{\text{II}}(r, t)$ , угла поворота  $\psi^{\text{I}}(r, t)$ ,  $\psi^{\text{II}}(r, t)$ , функции  $f(t)$  и упругопластической границы  $r = r_1(t)$ .

Для численной реализации задачи (2.9), (3.4)–(3.6) строятся две изменяющиеся со временем сетки по переменной  $r$ :

— в области термоупругого деформирования  $r = r_{1i+1} + h_{i+1}^e j$ ,  $j = \overline{0, N^e - 1}$ ,  $h_{i+1}^e = (1 - r_{1i+1})/N^e$ ;

— в области вязкопластического течения  $r = r_0 + h_{i+1}^p j$ ,  $j = \overline{1, N^p}$ ,  $h_{i+1}^p = (r_{1i+1} - r_0)/N^p$ . На каждом временном шаге  $t = t_* + dt(i+1)$ ,  $i = \overline{0, N}$  вследствие движения упругопластической границы сетка меняется. Значения температуры и угла поворота для вновь строящейся сетки на предыдущем временном шаге находятся с помощью интерполяции.

По найденным значениям относительной температуры  $\theta^{\text{I}}(r, t)$ ,  $\theta^{\text{II}}(r, t)$ , угла поворота  $\psi^{\text{I}}(r, t)$ ,  $\psi^{\text{II}}(r, t)$ , функции  $f(t)$  находятся распределения угловой скорости  $\omega$ , напряжения  $\sigma_{r\varphi}$ , компоненты термоупругих  $m_{r\varphi}$  и пластических  $p_{r\varphi}$  деформаций. Неизвестные компоненты обратимых деформаций  $m_{rr}$ ,  $m_{\varphi\varphi}$  и необратимых деформаций  $p_{rr}$ ,  $p_{\varphi\varphi}$  вычисляются из системы уравнений

$$\begin{aligned} \frac{\partial p_{\varphi\varphi}}{\partial t} = -\varepsilon_{r\varphi}^p \frac{p_{\varphi\varphi} - m_{r\varphi}^2}{m_{r\varphi}} + \frac{4\varepsilon_{r\varphi} p_{r\varphi}}{2 + m_{r\varphi}^2} \left( 1 + m_{\varphi\varphi} - \frac{1}{2} m_{r\varphi}^2 - 2m_{r\varphi} p_{r\varphi} \right), \\ m_{rr} = p_{\varphi\varphi} - 3m_{r\varphi}^2/2 - 2m_{r\varphi} p_{r\varphi}, \quad p_{rr} + p_{\varphi\varphi} = -2p_{r\varphi}^2, \quad m_{rr} + m_{\varphi\varphi} = -m_{r\varphi}^2. \end{aligned}$$

Далее из первого уравнения равновесия (2.5) и соотношений (3.1) находятся диагональные компоненты напряжений и добавочное гидростатическое давление.

#### 4. Деформирование при постоянной и уменьшающейся скорости поворота.

При постоянной скорости поворота начиная с момента времени  $t = t_1$  справедлива система уравнений (2.9), (3.4)–(3.6), где  $\psi(r_0, t) = at_1 t - at_1^2/2$  согласно (2.2). При этом область вязкопластического течения продолжает увеличиваться.

Полагается, что с момента времени  $t = t_2 > t_1$  угловая скорость внутренней поверхности уменьшается:  $\omega_{r_0}(t) = at_1 - b(t - t_2)$ . Область вязкопластического течения при этом сначала увеличивается, а затем, начиная с момента времени  $t' > t_2$ , уменьшается. С момента времени  $t''$  появляется новая упругопластическая граница  $r = r_2(t)$ , движущаяся от поверхности  $r = r_1(t')$  к внутренней поверхности  $r = r_0$  и разделяющая уменьшающуюся

область течения  $r_0 \leq r \leq r_2(t)$  и область  $r_2(t) \leq r \leq r_1(t')$ , в которой необратимые деформации не накапливаются (тензор необратимых деформаций не меняется со временем). В области  $r_1(t') \leq r \leq R$  деформирование обратимо.

В областях обратимого деформирования  $r_1(t') \leq r \leq R$  и  $r_2(t) \leq r \leq r_1(t')$  справедливо уравнение теплопроводности в (2.9) с дополнительным условием совпадения значений функции  $\theta$  на неизменной границе  $r = r_1(t')$ . В области вязкопластического течения по-прежнему выполняется уравнение (3.4). Для определения температуры, угла поворота, функций  $f(t)$  и  $r = r_2(t)$  получаем систему уравнений, аналогичную системе (2.9), (3.3)–(3.6).

В момент времени  $t = t_3$  при продолжающемся уменьшении скорости поворота внутренней жесткой поверхности проскальзывание прекращается, и далее выполняется условие прилипания. Момент времени  $t = t_3$  находится из условия  $f(t_3) = -\delta\sigma_0 r_0^2$ . Начиная с момента времени  $t = t_3$  материал охлаждается, граничные условия на поверхности  $r = r_0$  принимают вид

$$\psi(r_0) = \psi(r_0, t_3), \quad \theta(r_0, t) = \theta(r_0, t_3)(1 - \alpha_2(t - t_3)).$$

При выбранных параметрах задачи сначала, при  $t = t_4 = ab^{-1}t_1 + t_2$ , скорость внутренней поверхности становится равной нулю, затем, при  $t = t_5$ , граничная поверхность  $r = r_2(t)$  достигает жесткой стенки  $r = r_0$ , и в материале остаются две области обратимого деформирования:  $r_1(t') \leq r \leq R$  (термоупругая) и  $r_0 \leq r \leq r_1(t')$  (область с накопленными необратимыми деформациями). Этот момент времени находится из решения уравнения

$$r_0^2 k_0 (1 - \theta^2(r_0, t_5) / \theta_m^2) = -f(t_5).$$

С момента времени  $t = t_5$  процесс выравнивания температуры в цилиндрическом слое вследствие теплопроводности описывается первым уравнением (2.9) и продолжается после момента времени  $t = t_6 = t_4 + \alpha_2^{-1}$ , когда  $\theta(r_0, t_6) = 0$ .

На рис. 1 показано изменение положения упругопластической границы в течение всего процесса деформирования, на рис. 2, 3 — распределения относительной температуры  $\theta$  и угла поворота  $\psi$  в различные моменты времени. Расчеты проводились в безразмерных переменных

$$\tilde{r} = \frac{r}{R}, \quad \tau = \alpha t, \quad \tilde{\sigma}_{ij} = \frac{\sigma_{ij}}{\mu}$$

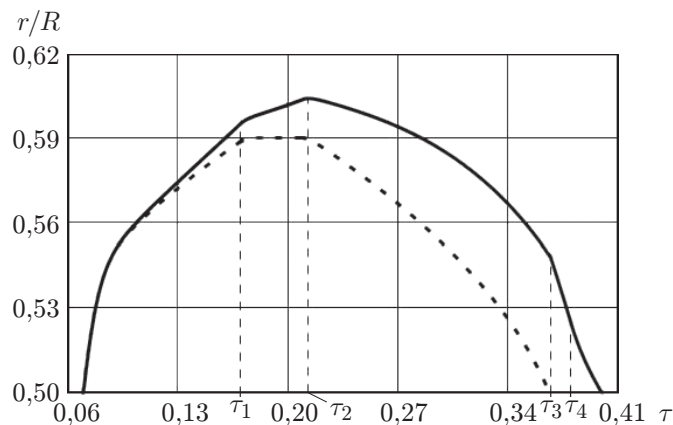


Рис. 1. Изменение области вязкопластического течения в процессе деформирования: сплошная линия — с учетом нагрева, штриховая — изотермический случай



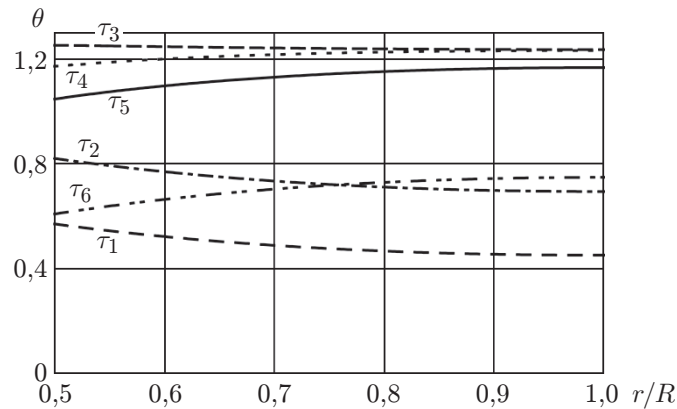


Рис. 2. Распределение температуры в различные моменты времени

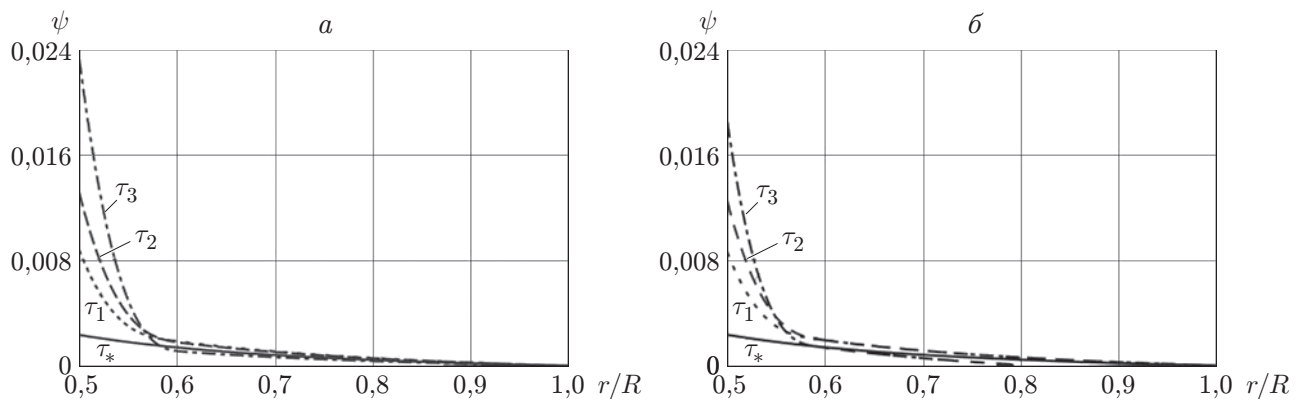


Рис. 3. Распределение значений угла поворота в различные моменты времени в случае деформирования с учетом нагрева (а) и в изотермическом случае (б)

при следующих значениях параметров:  $a\eta/\mu^2 = 0,004$ ,  $r_0/R = 0,5$ ,  $k/\mu = 0,006\ 21$ ,  $a/b = 1$ ,  $a\xi/\mu = 0,005$ ,  $\beta_1 = 0,5$ ,  $\beta_3 = -0,5$ ,  $\delta\sigma_0/\mu = 0,005$ ,  $l/\mu = 0,001$ ,  $\nu_1/\mu = 0,02$ ,  $\alpha_1 = 100$ ,  $\alpha_2 = 50$ ,  $q/R^2 = 10$ .

**Заклучение.** В работе получено решение задачи о вискозиметрическом течении упруговязкопластического материала в зазоре между двумя жесткими коаксиальными цилиндрическими поверхностями, на одной из которых возможно проскальзывание материала и его нагрев за счет трения о стенки цилиндра. Изменение области вязкопластического течения существенно отличается от изменения области в изотермическом случае. В рассматриваемом случае при увеличивающейся скорости вращения внутреннего цилиндра область вязкопластического течения развивается быстрее; при постоянной скорости область вязкопластического течения продолжает увеличиваться, тогда как в изотермическом случае она увеличивается незначительно и далее не развивается. При уменьшающейся скорости вращения область вязкопластического течения уменьшается значительно медленнее, чем в изотермическом случае. Существенные различия в распределении перемещений наблюдаются при уменьшающейся скорости вращения: они больше, чем в изотермическом случае.

### ЛИТЕРАТУРА

1. Мясников В. П. Некоторые точные решения для прямолинейных движений вязкопластической среды // ПМТФ. 1961. № 2. С. 54–60.

2. **Быковцев Г. И., Чернышов А. Д.** О вязкопластическом течении в некруговых цилиндрах при наличии перепада давления // ПМТФ. 1964. № 4. С. 94–96.
3. **Огибалов П. М.** Нестационарные движения вязкопластических сред / П. М. Огибалов, А. Х. Мирзаджанзаде. М.: Изд-во Моск. гос. ун-та, 1970.
4. **Георгиевский Д. В.** Жесткие зоны в статически определимых и неопределимых задачах вязкопластического течения // Проблемы механики деформируемых твердых тел и горных пород: Сб. ст. к 75-летию Е. И. Шемякина. М.: Физматлит, 2006. С. 135–141.
5. **Резунов А. В., Чернышов А. Д.** Задача о чистом сдвиге вязкопластического материала между двумя цилиндрическими поверхностями // Механика деформируемого твердого тела. Куйбышев: Куйбышев. ун-т, 1975. Вып. 1. С. 32–36.
6. **Дюво Г.** Неравенства в механике и физике / Г. Дюво, Ж.-Л. Лионс. М.: Наука, 1980.
7. **Мосолов П. П.** Механика жесткопластических сред / П. П. Мосолов, В. П. Мясников. М.: Наука, 1981.
8. **Ивлев Д. Д.** Об определении перемещений в упругопластических задачах теории идеальной пластичности // Успехи механики деформируемых сред: К 100-летию со дня рожд. акад. Б. Г. Галеркина. М.: Наука, 1975. С. 236–240.
9. **Аннин Б. Д.** Упругопластическая задача / Б. Д. Аннин, Г. П. Черепанов. Новосибирск: Наука. Сиб. отд-ние, 1983.
10. **Галин Л. А.** Упругопластические задачи. М.: Наука, 1984.
11. **Ивлев Д. Д.** Из истории дискуссий в механике. Три дискуссии // Теоретическая и прикладная механика: Междунар. науч.-техн. сб. Минск: Белорус. нац. техн. ун-т, 2012. Вып. 27. С. 5–10.
12. **Lee E. H.** Elastic-plastic deformation at finite strains // Trans ASME. Ser. E. J. Appl. Mech. 1969. V. 36, N 1. P. 1–6.
13. **Кондауров В. И.** Об уравнениях упруговязкопластической среды с конечными деформациями // ПМТФ. 1982. № 4. С. 133–139.
14. **Левитас В. И.** Большие упругопластические деформации материалов при высоком давлении. Киев: Наук. думка, 1987.
15. **Аннин Б. Д., Коробейников С. Н.** Допустимые формы упругих законов деформирования в определяющих соотношениях упругопластичности // Сиб. журн. индустр. математики. 1998. Т. 1, № 1. С. 21–34.
16. **Чернышов А. Д.** Определяющие уравнения для упругопластического тела при конечных деформациях // Изв. РАН. Механика твердого тела. 2000. № 1. С. 120–128.
17. **Роговой А. А.** Определяющие соотношения для конечных упруго-неупругих деформаций // ПМТФ. 2005. Т. 46, № 5. С. 138–149.
18. **Быковцев Г. И., Шитиков А. В.** Конечные деформации упругопластических сред // Докл. АН СССР. 1990. Т. 311, № 1. С. 59–62.
19. **Буренин А. А., Быковцев Г. И., Ковтанюк Л. В.** Об одной простой модели для упругопластической среды при конечных деформациях // Докл. РАН. 1996. Т. 347, № 2. С. 199–201.
20. **Мясников В. П.** Уравнения движения упругопластических материалов при больших деформациях // Вестн. ДВО РАН. 1996. № 4. С. 8–13.
21. **Буренин А. А.** Большие необратимые деформации и упругое последствие / А. А. Буренин, Л. В. Ковтанюк. Владивосток: Дальнаука, 2013.
22. **Бегун А. С., Буренин А. А., Ковтанюк Л. В.** Винтовое вязкопластическое течение в зазоре между жесткими цилиндрами // Изв. РАН. Механика твердого тела. 2017. № 6. С. 55–70.

23. Буренин А. А., Ковтанюк Л. В., Устинова А. С. Об учете упругих свойств неньютоновского материала при его вискозиметрическом течении // ПМТФ. 2008. Т. 49, № 2. С. 143–151.
24. Буренин А. А., Ковтанюк Л. В., Устинова А. С. Вискозиметрическое течение несжимаемого упруговязкопластического материала при наличии смазки на граничных поверхностях // Сиб. журн. индустр. математики. 2012. Т. 15, № 2. С. 43–55.
25. Бегун А. С., Буренин А. А., Ковтанюк Л. В. Течение упруговязкопластического материала между вращающимися цилиндрическими поверхностями в условиях нежесткого сцепления // ПМТФ. 2015. Т. 56, № 2. С. 146–158.
26. Ковтанюк Л. В. Моделирование больших упругопластических деформаций в неизотермическом случае // Дальневост. мат. журн. 2004. Т. 5, № 1. С. 110–120.
27. Ковтанюк Л. В., Шитиков А. В. О теории больших упругопластических деформаций при учете температурных и реологических эффектов // Вестн. ДВО РАН. 2006. № 4. С. 87–93.
28. Буренин А. А., Ковтанюк Л. В., Панченко Г. Л. Неизотермическое движение упруговязкопластической среды в трубе в условиях изменяющегося перепада давления // Докл. АН. 2015. Т. 464, № 3. С. 284–287.
29. Буренин А. А., Ковтанюк Л. В., Панченко Г. Л. Развитие и торможение вязкопластического течения в слое при его нагреве за счет трения о шероховатую плоскость // ПМТФ. 2015. Т. 56, № 4. С. 101–111.
30. Буренин А. А., Ковтанюк Л. В., Панченко Г. Л. Движение упруговязкопластической среды в круглой трубе при ее нагреве за счет пристеночного трения // Прикл. математика и механика. 2016. Т. 80, № 2. С. 265–275.
31. Буренин А. А., Ковтанюк Л. В., Панченко Г. Л. Деформирование и разогрев упруговязкопластического цилиндрического слоя при его движении за счет изменяющегося перепада давления // Изв. РАН. Механика твердого тела. 2018. № 1. С. 6–18.
32. Знаменский В. А., Ивлев Д. Д. Об уравнениях вязкопластического тела при кусочно-линейных потенциалах // Изв. АН СССР. Отд-ние техн. наук. Механика и машиностроение. 1963. № 6. С. 114–118.

*Поступила в редакцию 24/VI 2021 г.,  
после доработки — 24/VI 2021 г.  
Принята к публикации 28/VI 2021 г.*

---